

บทที่ 4

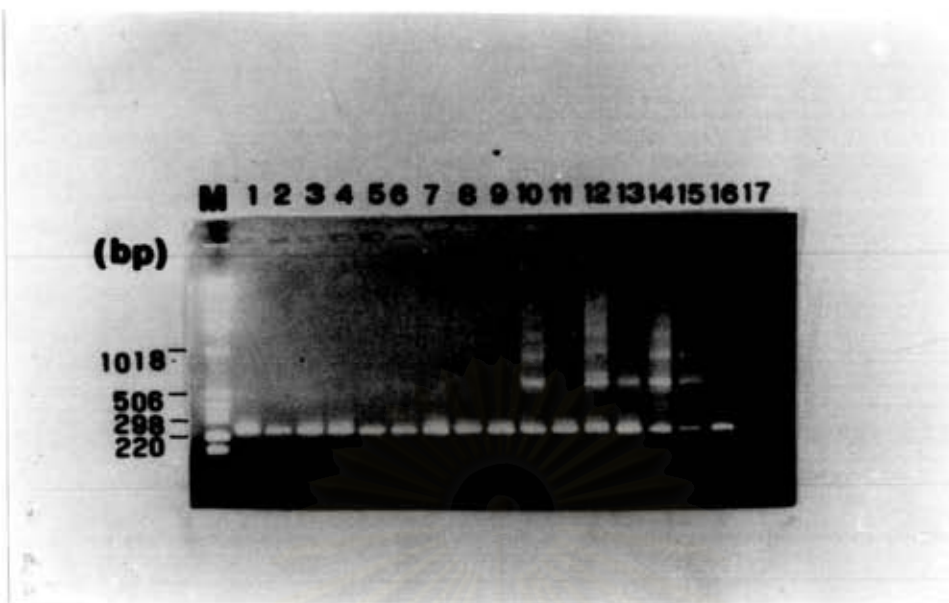
ผลการทดลอง

ผลการศึกษาความหลากหลายของรูปแบบเจ็น Pf155/RESA ในเชื้อมาลาเรียชนิดพื้นเมืองที่เก็บจากผู้ป่วย 6 พื้นที่ จำนวน 124 ไอโซเลต ซึ่งประกอบด้วย 14 ไอโซเลต จากจังหวัดตาก จำนวน 23 ไอโซเลต จากจังหวัดชลบุรี จำนวน 25 ไอโซเลต จากจังหวัดตราด จำนวน 24 ไอโซเลต จากจังหวัดจันทบุรี จำนวน 15 ไอโซเลต จากจังหวัดสระบุรี จำนวน 23 ไอโซเลต จากโรงพยาบาลเวชศาสตร์เบศร้อน โดยทำการสกัดดีเอ็นเอจากด้วยห้องเต้อดที่มีเชื้อมาลาเรียชนิดพื้นเมืองตามวิธีของ Seesod และคณะ (1993) และ วิธีของ Snounoung และคณะ (1993) หลังจากนั้นท่าการเพิ่มปริมาณดีเอ็นเอโดยวิธี PCR

4.1 การเพิ่มปริมาณดีเอ็นเอโดยวิธี PCR (polymerase chain reaction)

การเพิ่มปริมาณดีเอ็นเอในส่วนของเจ็น Pf155/RESA โดยปฏิกริยาถูกใช้โพลีเมอร์ส (polymerase chain reaction) ซึ่งกรองน้ำนมบริเวณ นิวคลีโอไทด์ที่ 2675 ถึง 2921 โดยใช้ PCR primer 3 ที่มี biotin ต่ออยู่ที่ปลาย 5' และ primer 4 จะได้ผลผลิต PCR ที่มีขนาด ประมาณ 246 bp โดยเปรียบเทียบกับดีเอ็นเอมาตรฐาน 1 Kb ladder (BRL) เมื่อนำมาตรวจตอนด้วย 1% agarose gel electrophoresis ที่ข้อมูลด้วย ethidium bromide (รูปที่ 4-1)

จุฬาลงกรณ์มหาวิทยาลัย



รูปที่ 4-1 แสดง PCR product ของ 17 ไอโซเลตที่ใช้ในการทดลอง โดยแยกด้วย 1% agarose gel eletrophoresis และข้อมูลด้วย ethidium bromide

M = 1 Kb ladder marker

1 = ไอโซเลต S 3

9 = ไอโซเลต S 111

2 = ไอโซเลต S 70

10 = ไอโซเลต S 114

3 = ไอโซเลต S 79

11 = ไอโซเลต S 118

4 = ไอโซเลต S 90

12 = ไอโซเลต S 127

5 = ไอโซเลต S 98

13 = ไอโซเลต S 132

6 = ไอโซเลต S 103

14 = ไอโซเลต S 142

7 = ไอโซเลต S 107

15 = ไอโซเลต S 145

8 = ไอโซเลต S 110

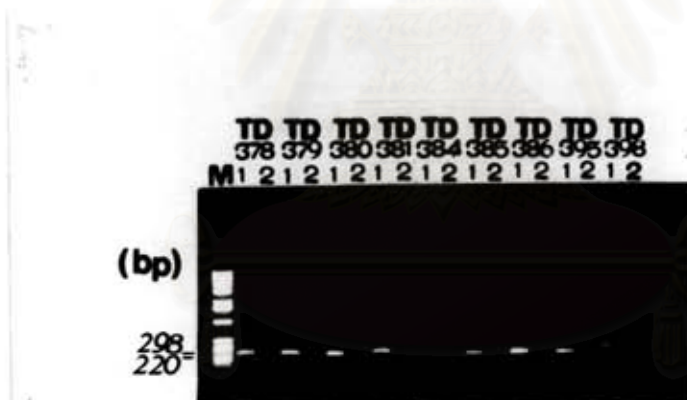
16 = ไอโซเลต S 147

17 = negative control

หมายเหตุ ในตัวอย่างหมายเลข 10, 11, 13, 14, และ 15 มีแถบของ nonspecific DNA ซึ่งเกิดจากการใช้ดีเอ็นเอแม่แบบในปริมาณมาก

4.2 การแยกดีเอ็นเอสายเดี่ยว และการหาลำดับเบส (Solid phase sequencing) (Hultman, et al., 1989)

จากนั้นนำผลผลิตดีเอ็นเอจากข้อ 4.1 ทั้ง 124 ไอโซเลตมาแยกเป็นดีเอ็นเอสายเดี่ยวโดยการใช้ beads ที่ coat ด้วย streptavidin ซึ่งจะทำปฏิกิริยากับ biotinylated primer ดังสรุปวิธีการในรูปที่ 4-3 และตรวจสอบการจับกันของ Streptavidin bead กับ Biotin-DNA ด้วย 1% agarose gel electrophoresis ที่ขอมสีด้วย ethidium bromide (รูปที่ 4-2) เมื่อได้ดีเอ็นเอสายเดี่ยวจึงนำไปใช้เป็นดีเอ็นเอแม่พิมพ์สำหรับการหาลำดับเบสโดย 6% denaturing polyacrylamide gel electrophoresis โดยอ่านลำดับบนจากออกอโตรเรคิโอะแกรมได้ทั้งหมด 120 เบส (คำແນ່ນທີ 2727-2846)



รูปที่ 4-2 แสดงการตรวจสอบการจับกันของ Streptavidin beads กับ Biotin-DNA โดย 1% agarose gel electrophoresis และข้อมสีด้วย ethidium bromide

M = 1 Kb ladder marker

1 = supernatant จากสารละลายน้ำดีที่หล่อหลังการทำ PCR และ PCR product

2 = supernatant จากสารละลายน้ำดีที่หล่อหลังการทำ PCR และ PCR product ที่หาม streptavidin beads

4.3 การวิเคราะห์รูปแบบอัตโนมัติของ Pf155/RESA จากเชื้อมากาเรียชนิดฟังซิพารัน

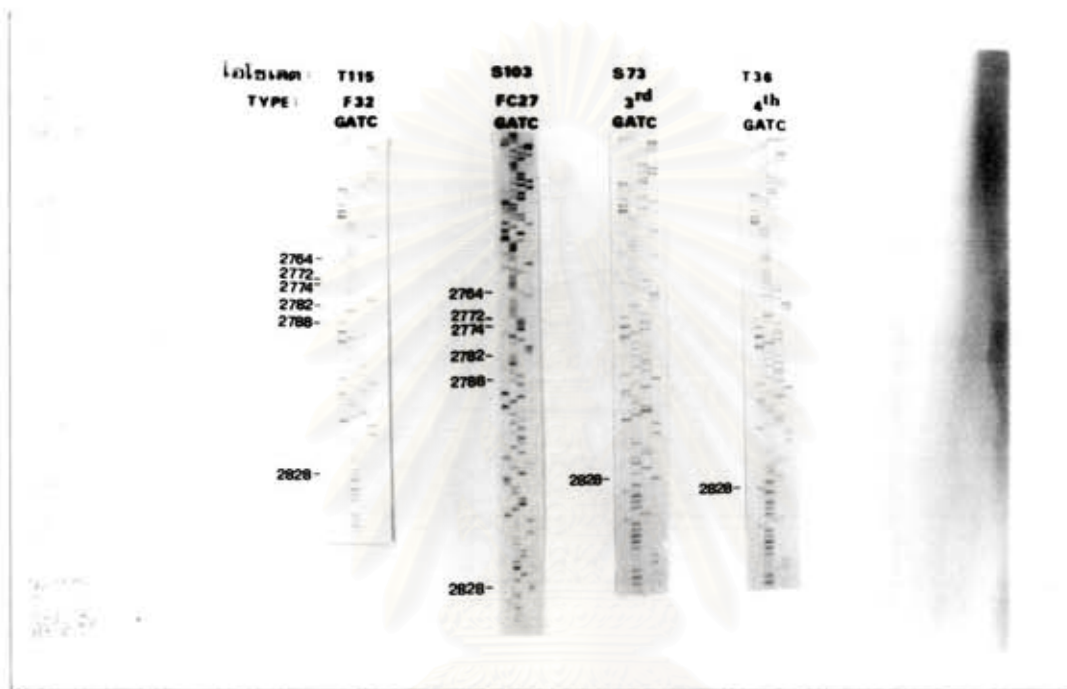
วิธีการวิเคราะห์ผลจากการอ่านออกโดยเครื่องไอแกรน พบร่วมกับการเปลี่ยนแปลงของลำดับนิวคลีโอไทค์ในช่วงตำแหน่งที่ 2764 ถึง 2828 ตั้งตารางที่ 4-1 ແລະเปรียบเทียบรูปแบบอัตโนมัติของ Pf155/RESA ที่พบกับการทดลองของ Årlund ແລະຄະ (1990) ແລະการทดลองของ Seesod (1996) ແລະຄະ

การอ่านผลจากการอ่านออกโดยเครื่องไอแกรนของตัวอย่างทั้งหมด 124 ໄอโซเดต พบร่วมกับลีลีที่แตกต่างกัน 4 แบบ (รูปที่ 4-3) คือ

- (1) F32 (ใช้เป็นรูปแบบมาตรฐานในการเปรียบเทียบ)
- (2) FC27.
- (3) 3rd (รูปแบบ III ในรายงานของ Seesod *et al.*, 1996)
- (4) 4th (รูปแบบ IV ในรายงานของ Seesod *et al.*, 1996)

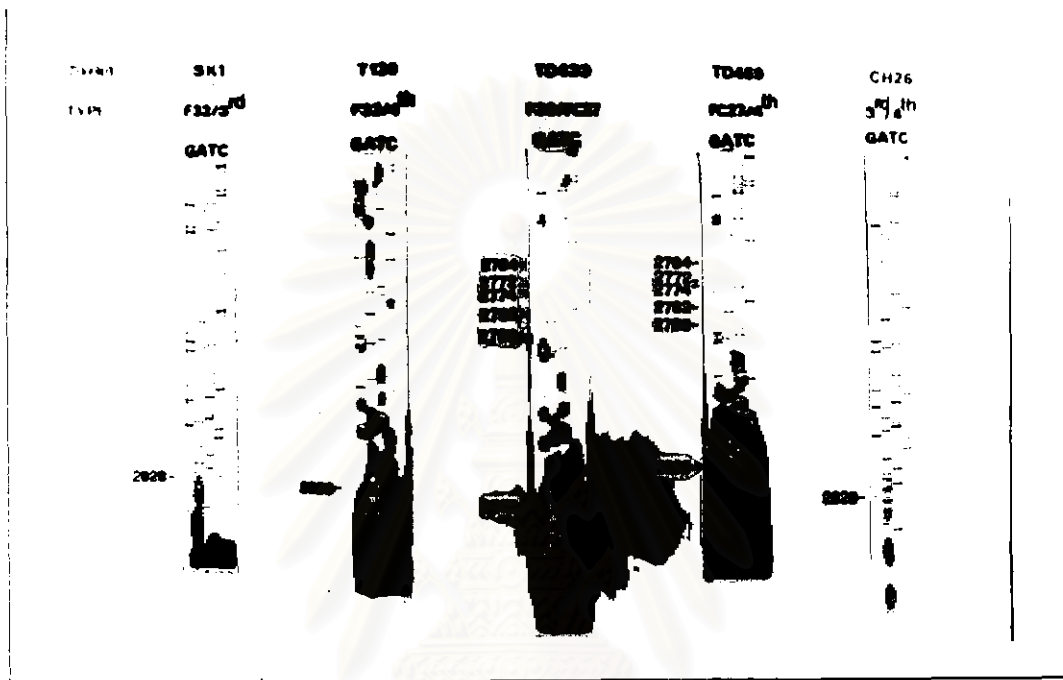
โดยแต่ละรูปแบบอัตโนมัตินี้ความแตกต่างของเบสดังนี้ รูปแบบที่มีลำดับเบสเหมือนกับໄอโซเดต F32 (จากประเทคแทนชาเนีย) จัดเป็นรูปแบบ F32 ส่วนรูปแบบที่มีลำดับเบสเหมือนໄอโซเดต FC27 (จากประเทคป้าป่านวิกนี) จัดเป็นรูปแบบ FC27 ความแตกต่างของ 2 รูปแบบนี้ เกิดขึ้นถึง 6 ตำแหน่ง ได้แก่ ตำแหน่งที่ 2764 (G → T), 2772 (A → T), 2774 (A → T) 2782 (C → A), 2788 (G → A), และ 2828 (A → C) รูปแบบที่พบลำดับต่อมา (Seesod *et al.*, 1996) มีการเปลี่ยนแปลงเมื่อเปรียบเทียบกับลำดับเบสกับรูปแบบ F32 ที่ตำแหน่ง 2828 (A → C) จัดเป็นรูปแบบที่ 3rd ແລະที่ 4th สำหรับลำดับเบสตำแหน่งเดียวที่พบว่ามีการเปลี่ยนแปลงของเบส จาก A (รูปแบบ F32) ไปเป็น G รูปแบบนี้จัดเป็นรูปแบบที่ 4th

นอกจากนี้ในบางໄอโซเดต อาจพบແบนนิวคลีโอไทค์ที่ตำแหน่งเดียวกันมากกว่า 1 แบบ แสดงให้เห็นว่าประชากรของໄอโซเดตดังกล่าวมีมากกว่า 1 สายพันธุ์ ดังแสดงให้เห็นในรูปที่ 4-4



สถาบันวิทยบริการ จุฬาลงกรณ์มหาวิทยาลัย

รูปที่ 4-3 แสดงออกोトイเดคิโอดีแกรมของรูปแบบอัลกีลิน Pfl55/RESA จำนวน 4 รูปแบบ คือ F32, FC27, 3rd และ 4th



สถาบันวิทยบริการ จุฬาลงกรณ์มหาวิทยาลัย

รูปที่ 4-4 แสดงขอໄຕຣີໂໂແກຣນຂອງຮູປແບນອັລສືລົງໃນ P155/RESA ທີ່ເປັນຮູປແບນພັນຮະກວາງ F32/3rd; F32/4th; F32/FC27; FC27/4th; 3rd/4th

ตารางที่ 4-1 แสดงคำแนะนำเบสที่มีการเปลี่ยนแปลงในแต่ละรูปแบบอัลลิสต์ Pf155/RESA โดยเปรียบเทียบกับรูปแบบ F32

(-) หมายถึง ไม่มีการเปลี่ยนแปลงของเบส

คำแนะนำที่ / Type	F32	FC27	3 rd	4 th
2764	GCA	TCA	-	-
2772	AAA	AAT	-	-
2774	TAT	TTT	-	-
2782	CAA	AAA	-	-
2788	GTT	ATT	-	-
2828	AAA	ACA	ACA	AGA

สถาบันวิทยบริการ
จุฬาลงกรณ์มหาวิทยาลัย

4.4 การวิเคราะห์การแทนที่ของนิวคลีโอไทด์

ในรูปแบบ FC27 มีการเปลี่ยนแปลงแทนที่ของเบส 6 ตำแหน่ง เมื่อเปรียบเทียบกับรูปแบบ F32 จากชนิดพิวрин (G) ไปเป็น พิวрин (A) ในตำแหน่งที่ 2788 เริ่กว่าเป็นการเปลี่ยนแปลงแทนที่แบบ transition และพบว่ามีการแทนที่แบบ transversion ในตำแหน่งที่ 2764 (G → T), 2772 (A → T), 2774 (A → T), 2782 (C → A), 2828 (A → C) ซึ่งเป็นการเปลี่ยนแปลงของเบสไพริมิดินไปเป็นพิวринหรือจากเบสพิวринไปเป็นไพริมิดิน ส่วนในรูปแบบ 3rd พบร่วมกับการเปลี่ยนแปลงแทนที่ของเบส 1 ตำแหน่งแบบ transversion จากเบสพิวринไปเป็นไพริมิดิน (A → C) และในรูปแบบ 4th มีการเปลี่ยนแปลงแทนที่แบบ transition ในตำแหน่งเดียวกับรูปแบบ 3rd คือ ตำแหน่งที่ 2828 เป็นการเปลี่ยนแปลงของเบสพิวрин ไปเป็นพิวрин (G → A) ดังตารางที่ 4-2 และรูปที่ 4-5

4.5 การวิเคราะห์การแทนที่ของกรดอะมิโน

ในรูปแบบ FC27 มีการเปลี่ยนแปลงของเบสที่ทำให้กรดอะมิโนเปลี่ยนแปลงถึง 6 ตำแหน่งเมื่อเปรียบเทียบกับรูปแบบ F32 คือ ตำแหน่งที่ 966 (ala → ser), 968 (lys → asn), 969 (tyr → phe), 972 (gln → lys) 974 (val → ile) และ 987 (lys → thr) และในรูปแบบ 3rd มีการเปลี่ยนแปลงของกรดอะมิโน 1 ตำแหน่ง ที่ตำแหน่ง 987 (lys → thr) สำหรับในรูปแบบ 4th มีการเปลี่ยนแปลงของกรดอะมิโน 1 ตำแหน่ง ที่ตำแหน่ง 987 (lys → arg) ดังตารางที่ 4-2 และรูปที่ 4-6

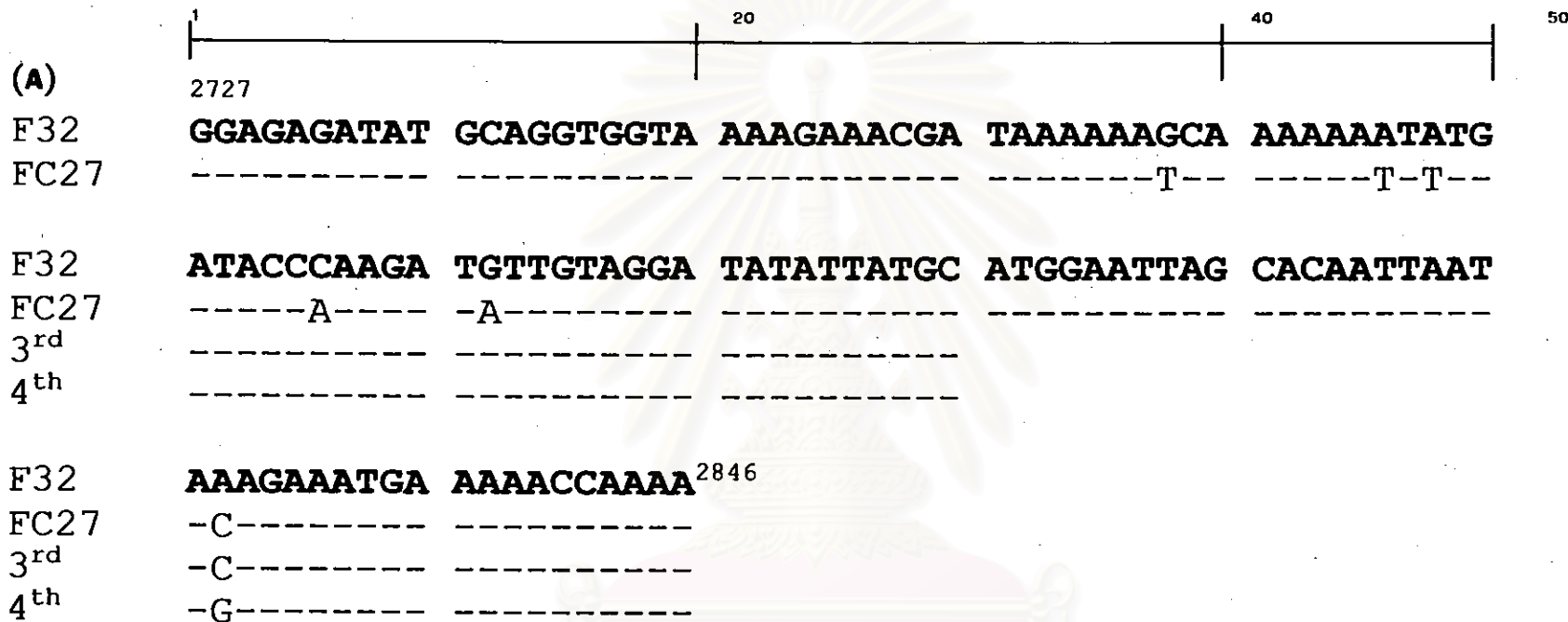
จุฬาลงกรณ์มหาวิทยาลัย

ตารางที่ 4-2 แสดงชนิดของการเปลี่ยนแปลงแทนที่เบสที่ทำให้กรดอะมิโนเปลี่ยนแปลง

a = แสดงกรดอะมิโนที่มีการเปลี่ยนแปลงเปรียบเทียบกับกรดอะมิโนในรูปแบบ F32 ที่จัดเร้นได้ไว้

b = แสดงโคดอนที่มีการเปลี่ยนแปลงเปรียบเทียบกับโคดอนในรูปแบบ F32 ที่จัดเร้นได้ไว้

ตัวแทนกรดอะมิโน	กรดอะมิโน ^a	โคดอน (codon) ^b	ชนิดของการเปลี่ยนแปลง
รูปแบบ FC27			
966	alanine ^a ↓ serine	<u>GCA</u> T--	transversion
968	lysine ↓ asparagine	<u>AAA</u> --T	transversion
969	tyrosine ↓ phenylalanine	<u>TAT</u> -T-	transversion
972	glutamine ↓ lysine	<u>CAA</u> A--	transversion
974	valine ↓ isolu sine	<u>GTT</u> A--	transition
987	lysine ↓ threonine	<u>AAA</u> -C-	transversion
รูปแบบที่ 3 rd			
987	lysine ↓ threonine	<u>AAA</u> -C-	transversion
รูปแบบที่ 4 th			
987	lysine ↓ arginine	<u>AAA</u> -G-	transition



รูปที่ 4-5 แสดงลำดับเบสที่เปลี่ยนแปลงไปในแต่ละอัลลีต

(-) หมายถึง ลำดับเบสที่เหมือนกัน

สถาบันวิทยบริการ
จุฬาลงกรณ์มหาวิทยาลัย

F32	⁹⁶⁵ KAKKYDTQDV	VGYIMHGIST	INKEMKNQNE ⁹⁹⁴
FC27	-S-NF--K-I	-----	--T-----
3 rd	-----	-----	--T-----
4 th	-----	-----	--R-----

รูปที่ 4-6 แสดงลำดับกรดอะมิโนที่เปลี่ยนแปลงไปในแต่ละอัลลีค
 (-) หมายถึง ลำดับเบสที่เหมือนกัน

สถาบันวิทยบริการ จุฬาลงกรณ์มหาวิทยาลัย

4.6 การวิเคราะห์ความถี่ของอัตราจำแนกต่างๆที่พบในพื้นที่ที่ทำการศึกษา

จากการพิจารณาแหล่งที่มาของรูปแบบอัลลิสต์แต่ละแบบเพื่อศึกษาการกระจายของรูปแบบอัลลิสต์แบบต่างๆ มีการกระจายดังนี้ (ตารางที่ 4-3, 4-4 และรูปที่ 4-7)

ผลการศึกษารูปแบบของอัลลิสต์ Pf155/RESA ของ *Plasmodium falciparum* ที่เก็บจากจังหวัดตาก จำนวน 14 ไอโซเลต พบว่า 12 ไอโซเลต (86%) เป็นรูปแบบ F32 ได้แก่ T 25, T 34, T 43, T 101, T 114, T 115, T 116, T 130, T 131, T 132, T 134, และ T 136 รูปแบบที่ 4th พบ 1 ไอโซเลต (7%) คือ T 36 ทั้งนี้ไม่พบรูปแบบ FC27 และรูปแบบ 3rd ในตัวอย่างที่ศึกษาจากจังหวัดตากเดียวกับประชากรผสมระหว่าง F32 และ 4th จำนวน 1 ไอโซเลต (7%) คือ ไอโซเลต T 120

ผลการศึกษารูปแบบของอัลลิสต์ Pf155/RESA ของ *Plasmodium falciparum* ที่เก็บจากอำเภอศรีราชา จังหวัดชลบุรี จำนวน 23 ไอโซเลต พบว่า 12 ไอโซเลต (52%) เป็นรูปแบบ F32 ได้แก่ ไอโซเลต S 3, S 79, S 90, S 102, S 107, S 111, S 114, S 127, S 142, S 145, S 147 และ S 152 พบ 5 ไอโซเลต (22%) เป็นรูปแบบที่ 3rd ได้แก่ ไอโซเลต S73, S110, S118, S132, และ S148 พบ 2 ไอโซเลต (9%) เป็นรูปแบบที่ 4th ได้แก่ ไอโซเลต S70, และ S149 รูปแบบ FC27 พบ 1 ไอโซเลต (4%) คือ ไอโซเลต S103 และพบว่ามีประชากรผสม ระหว่างรูปแบบ F32 และ 3rd จำนวน 3 ไอโซเลต (13%) ได้แก่ ไอโซเลต S98, S151, และ S153

ผลการศึกษารูปแบบของอัลลิสต์ Pf155/RESA ของ *Plasmodium falciparum* ที่เก็บจากจังหวัดตราด จำนวน 25 ไอโซเลต พบว่า 15 ไอโซเลต (60%) เป็นรูปแบบ F32 ได้แก่ ไอโซเลต TD16, TD 37, TD 378, TD 379, TD 380, TD 381, TD 385, TD 386, TD 395, TD 398, TD 427, TD 434, TD 439, TD 446, และ TD 460 รูปแบบที่ 3rd พบ 3 ไอโซเลต (12%) ได้แก่ ไอโซเลต TD 33, TD 388, TD 413 รูปแบบที่ 4th พบ 2 ไอโซเลต (8%) ได้แก่ ไอโซเลต TD 384, และ TD 436 ทั้งนี้ไม่พบรูปแบบ FC27 ในตัวอย่างที่ศึกษาจากจังหวัดตราดเดียวกับประชากรผสมระหว่างรูปแบบ F32 และ 3rd จำนวน 2 ไอโซเลต (8%) ได้แก่ ไอโซเลต TD 21, TD 431 ประชากรผสมระหว่างรูปแบบ F32 และ 4th จำนวน 1 ไอโซเลต (4%) คือ ไอโซเลต TD 50 ประชากรผสมระหว่างรูปแบบ F32 และ FC27 จำนวน 1 ไอโซเลต (4%) คือ ไอโซเลต TD 433 และประชากรผสมระหว่างรูปแบบ FC27 และ 4th จำนวน 1 ไอโซเลต (4%) คือ ไอโซเลต TD 459

ผลการศึกษารูปแบบของอัลลิสต์ Pf155/RESA ของ *Plasmodium falciparum* ที่เก็บจากจังหวัดจันทบุรี จำนวน 24 ไอโซเลต พบว่า 15 ไอโซเลต (63%) เป็นรูปแบบ F32 ได้แก่ ไอโซเลต CH25, CH 27, CH 28, CH 31, CH 32, CH 33, CH 34, CH 48, CH 50, CH 60, CH 61, CH 66, CH 81, CH 86, และ CH 98 พบ 2 ไอโซเลต (8%) เป็นรูปแบบที่ 3rd ได้แก่ ไอโซเลต CH 91, และ CH

142 รูปแบบที่ 4 พบร่วมกับ 3 ไอโซเกต (13%) ได้แก่ ไอโซเกต CH 13, CH 15, และ CH 18 และ รูปแบบ FC27 พบร่วมกับ 1 ไอโซเกต (4%) คือ ไอโซเกต CH 85 ประชากรผดพนพบว่ามีรูปแบบผดพนระหว่างรูปแบบ F32 และ 4th จำนวน 1 ไอโซเกต (4%) คือ ไอโซเกต CH 12 และประชากรผดพนระหว่างรูปแบบ F32 และ FC27 จำนวน 1 ไอโซเกต (4%) คือ ไอโซเกต CH 141 ประชากรผดพนระหว่างรูปแบบ 3rd และ 4th (4%) จำนวน 1 ไอโซเกต คือ ไอโซเกต CH 26

ผลการศึกษารูปแบบของอัลลิสต์ Pf155/RESA ของ *Plasmodium falciparum* ที่เก็บจากจังหวัดสงขลา จำนวน 15 ไอโซเกต พบร่วมกับ 11 ไอโซเกต (73%) เป็นรูปแบบ F32 ได้แก่ ไอโซเกต SK 3, SK 13, SK 15, SK 16, SK 18, SK 19, SK 20, SK 25, SK 32, SK 33, และ SK 37 รูปแบบ 3rd พบร่วมกับ 1 ไอโซเกต (7%) คือ ไอโซเกต SK 17 และ รูปแบบ 4th พบร่วมกับ 2 ไอโซเกต (13%) ได้แก่ ไอโซเกต SK 23, SK 30 ประชากรผดพนพบว่ามีรูปแบบผดพนระหว่างรูปแบบ F32 และ 3rd จำนวน 1 ไอโซเกต (7%) คือ ไอโซเกต SK 1 ทั้งนี้ไม่พบรูปแบบ FC27 ในตัวอย่างที่ศึกษาจากจังหวัดสงขลาเดีย

ผลการศึกษารูปแบบของอัลลิสต์ Pf155/RESA ของ *Plasmodium falciparum* ที่ได้จากโรงพยาบาลเวชศาสตร์เบตเตอรอน จำนวน 23 ไอโซเกต พบร่วมกับ 10 ไอโซเกต (44%) เป็นรูปแบบ F32 ได้แก่ ไอโซเกต TM1, TM 2, TM 3, TM 6, TM 33, TM 69, TM 84, TM 87, TM 91, และ TM 99 รูปแบบ 3rd พบร่วมกับ 7 ไอโซเกต (30%) ได้แก่ ไอโซเกต TM 29, TM 31, TM 32, TM 53, TM 54, TM 67, และ TM 79 รูปแบบ 4th พบร่วมกับ 3 ไอโซเกต (13%) ได้แก่ ไอโซเกต TM 8, TM 20, และ TM 82 ประชากรผดพนพบว่ามีรูปแบบผดพนระหว่างรูปแบบ F32 และ 3rd จำนวน 1 ไอโซเกต (4%) คือ ไอโซเกต TM 19 และ ประชากรผดพนระหว่างรูปแบบ F32 และ 4th จำนวน 2 ไอโซเกต (9%) คือ ไอโซเกต TM 4, และ TM 28 ทั้งนี้ไม่พบรูปแบบ FC27 ในตัวอย่างที่ศึกษาจากโรงพยาบาลเวชศาสตร์เบตเตอรอน

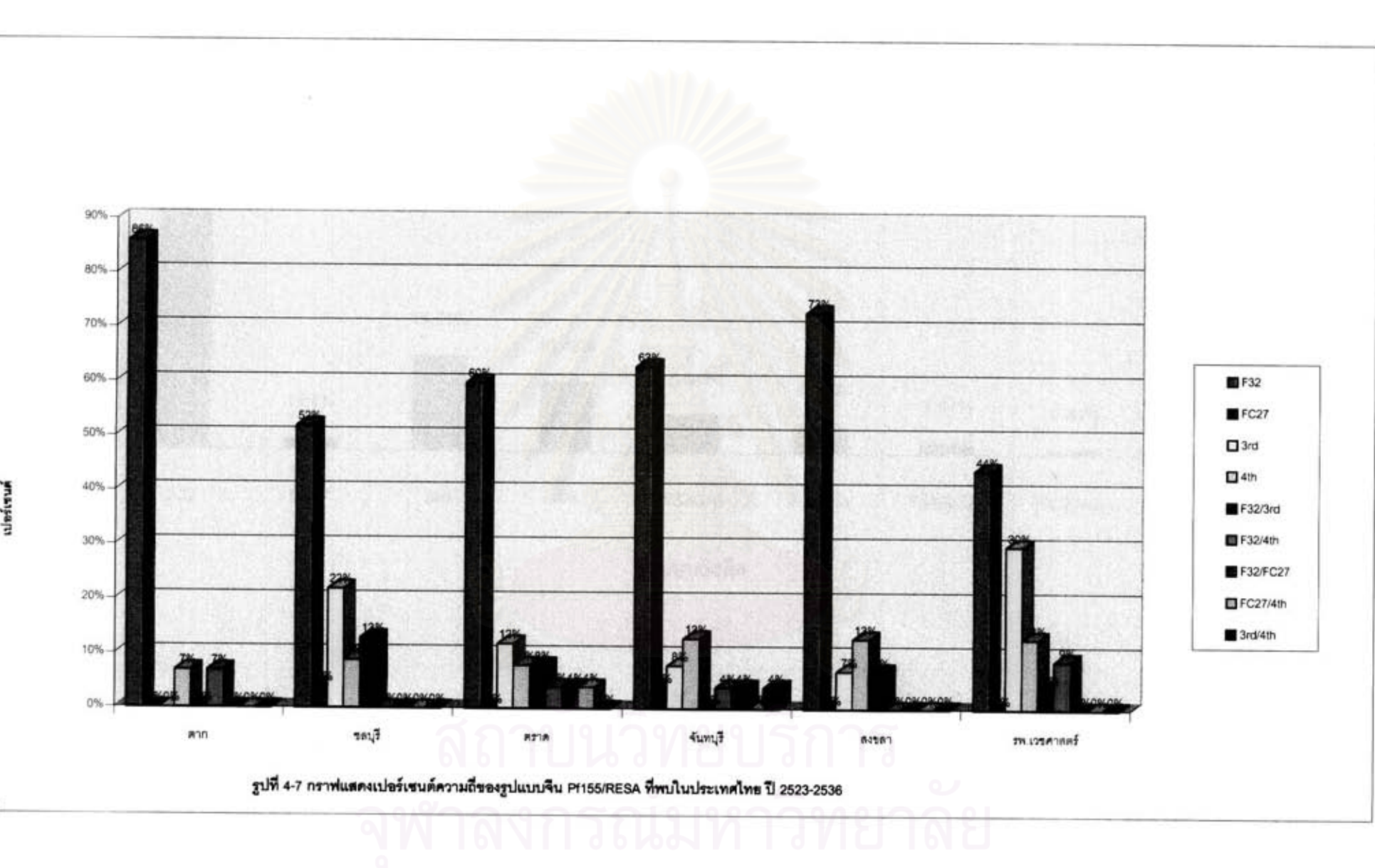
ตัวอย่างเชื่อมາตรีช 6 พื้นที่ในประเทศไทย จำนวน 124 ตัวอย่าง สามารถจำแนกตามรูปแบบและชนิดของอัลลิสต์ได้ (รูปที่ 4-8) ดังนี้ รูปแบบ F32 มี 75 ไอโซเกต (60.48%) FC27 พบร 2 ไอโซเกต (1.61%) รูปแบบที่ 3rd พบร 18 ไอโซเกต (14.51%) รูปแบบที่ 4th พบร 13 ไอโซเกต (10.48%) รูปแบบ F32/3rd พบร 7 ไอโซเกต (5.64%) รูปแบบ F32/4th พบร 5 ไอโซเกต (4.03%) รูปแบบ F32/FC27 พบร 2 ไอโซเกต (1.61%) รูปแบบ FC27/4th พบร 1 ไอโซเกต (0.8%) และรูปแบบ 3rd/4th พบร 1 ไอโซเกต (0.8%) โดยมีความถี่ของรูปแบบต่างๆ ในไอโซเกต (คิดรวมประชากรผดพน) ดังนี้ รูปแบบ F32 89 ไอโซเกต คิดเป็น 63% รูปแบบ FC27 5 ไอโซเกต คิดเป็น 4% รูปแบบ 3rd 26 ไอโซเกต คิดเป็น 19% และรูปแบบ 4th 20 ไอโซเกต คิดเป็น 14% ดังตารางที่ 4-11, 4-12 และรูปที่ 4-9.

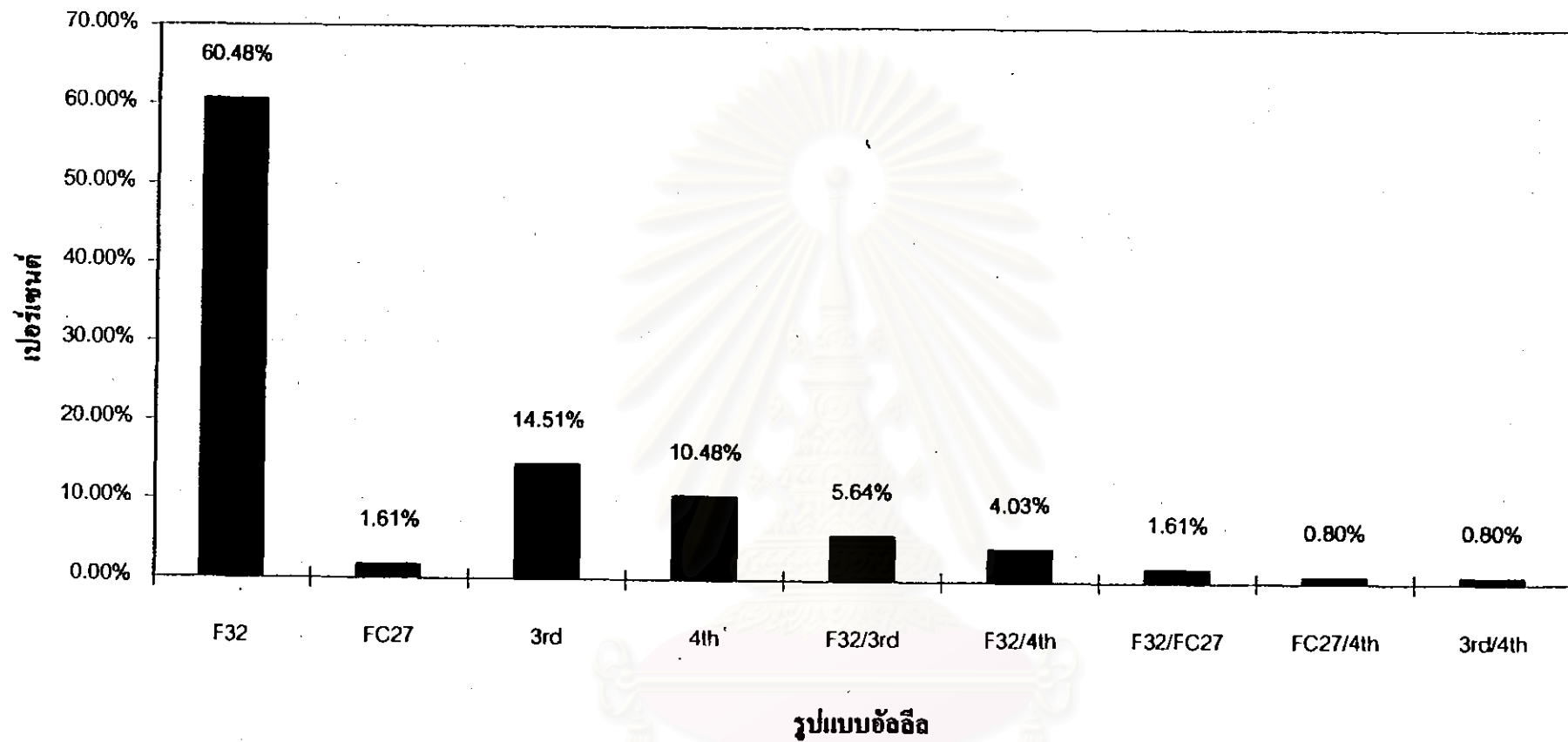
ตารางที่ 4-3 แสดงผลของรูปแบบอัลตีดจิน PFI55/RESA ในตัวอย่างที่ได้จากจังหวัดต่างๆ

จังหวัด \ Type	F32	FC27	3 rd	4 th	MIX
ตาก	T25;T34;T43;T101;T114; T115; T116; T130; T131 T132; T134; T136 (12)			T36 (1)	T120 (1)
ชลบุรี	S3; S79;S90; S102 S107; S111;S114; S127 S142; S145;S147; S152 (12)	S103 (1)	S73; S110 S118; S132 S148 (5)	S70; S149 (2)	S98; S151 S153 (3)
ตราด	TD16; TD37; TD378 TD379; TD380; TD381; TD385;TD386; TD395 TD398; TD427; TD434; TD439; TD446; TD460 (15)		TD33; TD388 TD413 (3)	TD384; TD436 (2)	TD21; TD50 TD431;TD433 TD459 (5)
พัทบุรี	CH25; CH27;CH28;CH31 CH32; CH33;CH34; CH48 CH50;CH60;CH61; CH66 CH81;CH86;CH98 (15)	CH85 (1)	CH91; CH142 (2)	CH13; CH15 CH18 (3)	CH12; CH26 CH141 (3)
สงขลา	SK3; SK13; SK15; SK16 SK18; SK19; SK20; SK25 SK32; SK33; SK37 (11)		SK17 (1)	SK23; SK30 (2)	SK1 (1)
ยะลา สงขลา	TM1; TM2;TM3; TM6 TM33;TM69; TM84; TM87; TM91; TM99 (10)		TM29;TM31;TM32 TM53;TM54; TM67 TM79 (7)	TM8; TM20 TM82 (3)	TM4; TM19 TM28 (3)
รวม	75	2	18	13	16
เปอร์เซนต์	60.48%	1.61%	14.51%	10.48%	12.9%

ตารางที่ 4-4 แสดงจำนวนรูปแบบอัลลิล์ Pf155/RESA ในผู้ป่วยที่ติดเชื้อ *P. falciparum* ในประเทศไทยในการทดลองนี้

จังหวัด/Type	F32	FC27	3 rd	4 th	F32/3 rd	F32/4 th	F32/FC27	FC27/4 th	3 rd /4 th	รวม
ตาก	12	0	0	1	0	1	0	0	0	14
ฉะบุรี	12	1	5	2	3	0	0	0	0	23
ตราด	15	0	3	2	2	1	1	1	0	25
จันทบุรี	15	1	2	3	0	1	1	0	1	24
สงขลา	11	0	1	2	1	0	0	0	0	15
รพ.เวชศาสตร์ เขตชั้น	10	0	7	3	1	2	0	0	0	23
รวม	75	2	18	13	7	5	2	1	1	124
เปอร์เซนต์	60.48%	1.61%	14.51%	10.48%	5.64%	4.03%	1.61%	0.8%	0.8%	



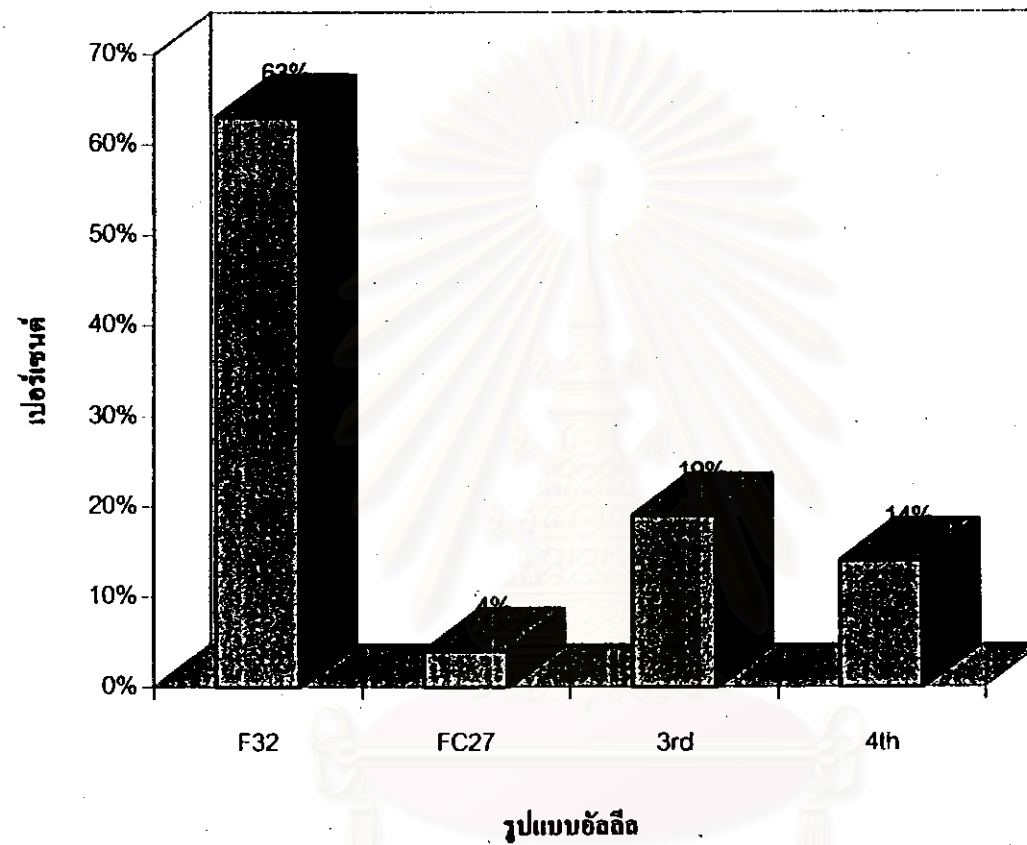


รูปที่ 4-8 แสดงการกระจายของรูปแบบอัลลิล Pf155/RESA ที่พบในประเทศไทย
ปีพ.ศ. 2523-2536

ตารางที่ 4-5 แสดงการกระจายแบบอัตราต่อของค่าวอย่างเชื่อมากาเรียในพื้นที่ทำการศึกษา (นับรวมประชากรผสม)

จังหวัด / Type	F32	FC27	3 rd	4 th
ตาก	13	0	0	2
ชลบุรี	15	1	8	2
ตราด	19	2	5	4
ฉันบุรี	17	2	3	5
สংขยา	12	0	2	2
รพ.เวชศาสตร์เขตร้อน	13	0	8	5
รวม	89	5	26	20
เปอร์เซนต์	63%	4%	19%	14%

สถาบันวิทยบริการ
อุปัลงกรณ์มหาวิทยาลัย



รูปที่ 4-9 แสดงความถี่ของรูปแบบอ้อลีอ์ Pf155/RESA ของ *P.falciparum* ที่พบในประเทศไทย ปี 2523-2536